

geodesiche : 1^a definizione

Lezione X

Def. geodesiche \equiv curve auto-parallele, ovvero tali che il loro vettore velocità sia parallelo se si muove

Prendendo $(v^j) = (\dot{x}^j)$ nell'equazione precedente, si ha ..

$$\ddot{x}^r + \overset{\circ}{\Gamma}{}^r_{ij} \dot{x}^i \dot{x}^j = 0$$

equazione delle geodesiche

$r = 1, 2$

Le geodesiche sono curve parametriche (l'equazione delle geodesiche non è invariante per cambiamento di parametro)



geodesiche : 2^a definizione

L'equazione delle geodesiche può dedursi a partire da due principi variazionali

$$L_1 = \frac{1}{2} g_{ij} \dot{x}^i \dot{x}^j$$

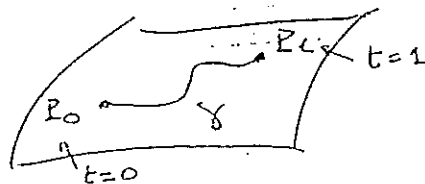
\parallel
 q^i

: energia cinetica di una particella

di massa $m = 1$. Che si muove liberamente su Σ

(in generale $L = T - V$ (energia cinetica - energia potenziale))

$$L_1 = L_1(q^i, \dot{q}^i)$$



azione

$$S(\gamma) := \int_0^1 \frac{1}{2} g_{ij} \dot{x}^i \dot{x}^j dt$$

Fatto \star Le equazioni delle geodetiche

sono le equazioni di Euler-Lagrange ottenute da S tramite il principio di azione stazionaria

Ricordiamo $\delta S = 0$, $S = \int_0^1 L(q, \dot{q}) dt$

$\Rightarrow \frac{\partial L}{\partial q^j} = \frac{d}{dt} \frac{\partial L}{\partial \dot{q}^j}$ Euler-Lagrange

|| $p_i = g_{ij} \dot{x}^j$

$f_i = p_i$ Eq. di Newton

(se $L = T - V$ $\frac{\partial L}{\partial q} = -\frac{\partial V}{\partial q}$)
 " " $T(q)$

Sia ora $L_2 = \sqrt{2} L_1^{\frac{1}{2}}$ S = lunghezza (\bar{x} indep dal parametro)

si trova

$$\frac{d}{dt} \frac{g_{kj} \dot{x}^j}{\sqrt{g_{ij} \dot{x}^i \dot{x}^j}} = \frac{\frac{\partial g_{ij}}{\partial x^k} \dot{x}^i \dot{x}^j}{2 \sqrt{g_{ij} \dot{x}^i \dot{x}^j}}$$

Se $t \in S$ (curva convulinea), ovvero $\sqrt{g_{ij} \dot{x}^i \dot{x}^j} = \text{cost}$

si ha $\frac{d}{dt} \underbrace{g_{kj} \dot{x}^j}_{p_k} = \frac{1}{2} \frac{\partial g_{ij}}{\partial x^k} \dot{x}^i \dot{x}^j$

... cioè la stessa eq. di prima, come si verifica con qualche calcolo, nonché l'eq. di auto-parallelismo (eq. geodetica)

★ eq. delle geodetiche \equiv Eulero-Lagrange dimostrazione

$$L = \frac{1}{2} g_{ij} \dot{u}^i \dot{u}^j$$

$i, j = 1, 2, \dots, n$
vale per una geometria
locale Riemanniana

$$\begin{aligned} \frac{\partial L}{\partial \dot{u}^k} &= \frac{1}{2} g_{ij} \frac{\partial \dot{u}^i}{\partial \dot{u}^k} \dot{u}^j + \frac{1}{2} g_{ij} \dot{u}^i \frac{\partial \dot{u}^j}{\partial \dot{u}^k} \\ &= \frac{1}{2} g_{ij} \delta_{ik} \dot{u}^j + \frac{1}{2} g_{ij} \delta_{jk} \dot{u}^i \\ &= \frac{1}{2} g_{kj} \dot{u}^j + \frac{1}{2} g_{ik} \dot{u}^i \\ &= g_{kj} \dot{u}^j \end{aligned}$$

$$\frac{d}{dt} \left(\frac{\partial L}{\partial \dot{u}^k} \right) = \frac{d}{dt} (g_{kj} \dot{u}^j) = \frac{d}{dt} (g_{kj}) \dot{u}^j + g_{kj} \ddot{u}^j$$

$$= g_{kj} \ddot{u}^j + \frac{\partial g_{kj}}{\partial u^i} \dot{u}^i \dot{u}^j$$

$$\frac{\partial L}{\partial u^k} = \frac{1}{2} \frac{\partial g_{ij}}{\partial u^k} \dot{u}^i \dot{u}^j$$

$$g_{kj} \ddot{u}^j + \left(\frac{\partial g_{kj}}{\partial u^i} - \frac{1}{2} \frac{\partial g_{ij}}{\partial u^k} \right) \dot{u}^i \dot{u}^j = 0$$

X-2'

mult. per g^{km}

$$g^{km} g_{jk} = g^{mk} g_{kj} = \delta^m_j$$

$$u^{m} + g^{km} \left(\frac{\partial g_{jk}}{\partial u^i} - \frac{1}{2} \frac{\partial g_{ij}}{\partial u^k} \right) u^i u^j = 0$$

★ ora

$$g^{km} \frac{\partial g_{jk}}{\partial u^i} u^i u^j =$$

cruciale!

$$= \frac{1}{2} u^i u^j g^{km} \left(\frac{\partial g_{jk}}{\partial u^i} + \frac{\partial g_{ik}}{\partial u^j} \right)$$

\Rightarrow

$$u^{m} + \frac{1}{2} g^{km} \left(\frac{\partial g_{jk}}{\partial u^i} + \frac{\partial g_{ik}}{\partial u^j} - \frac{\partial g_{ij}}{\partial u^k} \right) u^i u^j = 0$$

Γ_{ij}^m

$$\boxed{u^{m} + \Gamma_{ij}^m u^i u^j = 0}$$

$m=1 \dots n$

Q.E.D.

X-2''

$$\text{Se } L = \sqrt{g_{ij} \dot{u}^i \dot{u}^j}$$

$$\frac{d}{dt} \frac{\partial L}{\partial \dot{u}^k} = \frac{\partial L}{\partial u^k}$$

diventa

$$\frac{d}{dt} \frac{g_{kj} \dot{u}^j}{\sqrt{g_{ij} \dot{u}^i \dot{u}^j}} = \frac{\frac{\partial g_{ij}}{\partial u^k} \dot{u}^i \dot{u}^j}{2 \sqrt{g_{ij} \dot{u}^i \dot{u}^j}}$$

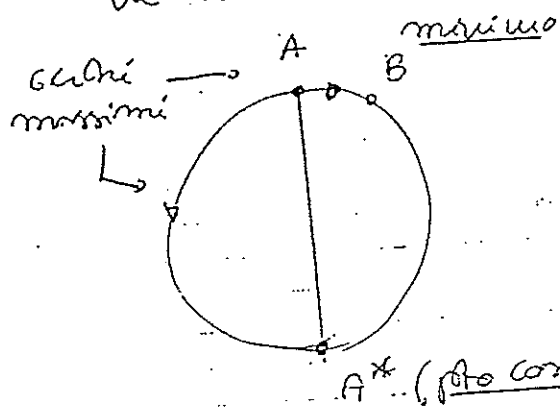
$$\text{Se } t = \alpha \text{ l. d'arco} \quad \sqrt{g_{ij} \dot{u}^i \dot{u}^j} \equiv \text{cost}$$

\Rightarrow l'eq. diventa

$$\frac{d}{dt} (g_{kj} \dot{u}^j) = \frac{1}{2} \frac{\partial g_{ij}}{\partial u^k} \dot{u}^i \dot{u}^j$$

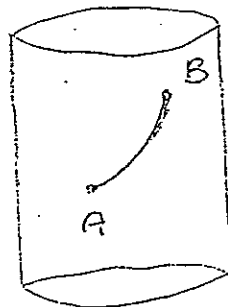
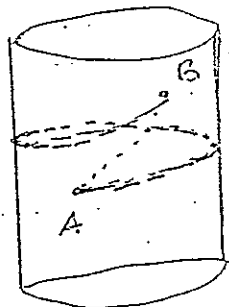
=> "Le geodetiche, associate con un parametro naturale sono cammini critici del funzionale lunghezza"

[★ Attenzione! una geodetica non è sempre necessariamente un cammino di lunghezza minima



\widehat{AB} minimo
 $\widehat{AA^*B}$ non t. minimo.

Altro esempio

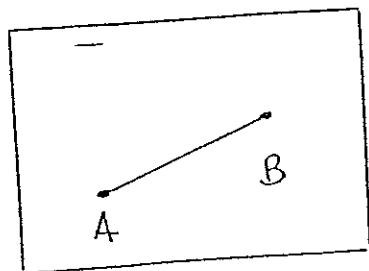


minimo

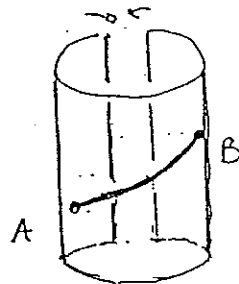
cilindro: geodetiche = elicoidali ...]
 (vedi figura ...)

[... si confronta cioè col principio di Maupertuis ...

$$S = \int \sqrt{E - V(x)} ds \dots$$



\leftrightarrow



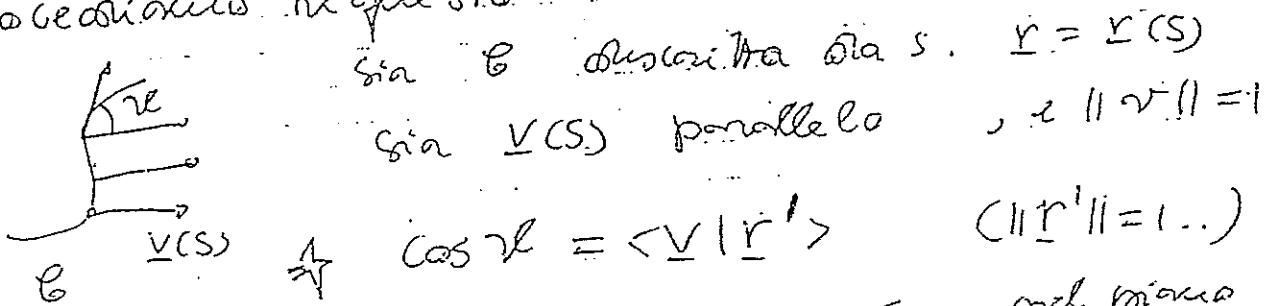
★ geodetiche 3^a definizione
(approccio "estricesco")

Problema: Definire una quantità per curve su Σ in E . In termini la definizione della geodeticità

Soluzione Proiettore \mathcal{C} sul piano tangente a Σ in E e considerare la corrispondente curva piana \mathcal{C}' : si definisce curva geodetica $\underline{k}_g(E)$ la curvatura di \mathcal{C}' in E .

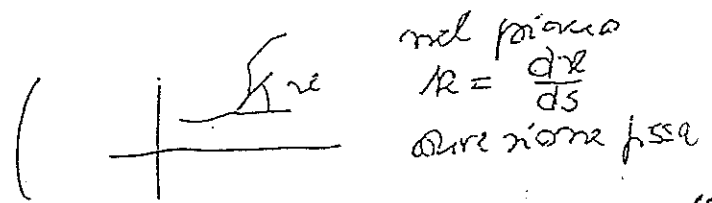
★ geodetiche $\equiv (k_g \equiv 0)$

Procediamo in questo modo:



definiamo:

$$k_g := \frac{d\varphi}{ds}$$



Deriviamo ★: $-\varphi' \sin \varphi = \langle \underline{v}' | \underline{r}' \rangle + \langle \underline{v} | \underline{r}'' \rangle$

si ponga $\cos \varphi = +1$ in un dato punto. per definizione avv. parallelo
 (k_g non dipende dal vettore...)

$$\frac{d\varphi}{ds} = -\varphi' = \langle \underline{r}'' | \underline{v} \rangle \Rightarrow \underline{v} = \underline{r}' \times \underline{N} \quad \triangle$$

$$\Rightarrow k_g = -\langle \underline{v}, \underline{r}'' \rangle = -\langle \underline{r}' \times \underline{N}, \underline{r}'' \rangle = \langle \underline{r}', \underline{r}'' \times \underline{N} \rangle$$

$\underline{r}' \in \mathbb{R}^2$

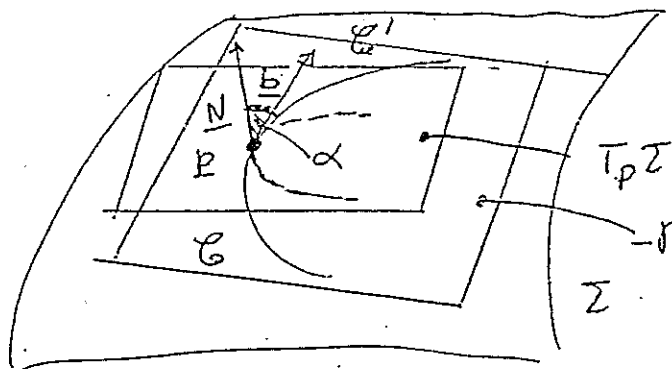
$$\Rightarrow R_g = \langle \underline{N} | \underline{t} \times \underline{n} \rangle \mathbb{R} \stackrel{\equiv}{=} \cos \alpha \mathbb{R}$$

\parallel
 $\frac{b}{1}$

\Rightarrow curve ortoparallele

$$\equiv K_g = 0, \dots$$

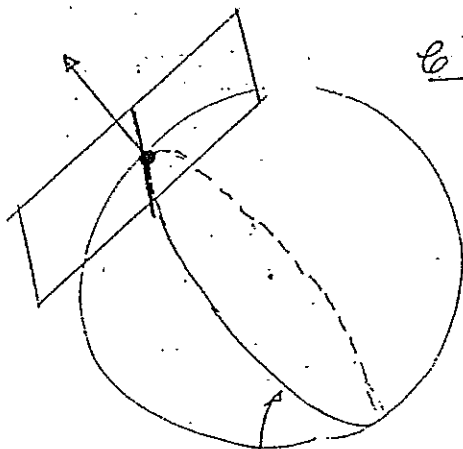
reaperta l'intervista
originaria...



- piano osculatore di C in P

C' è una retta...

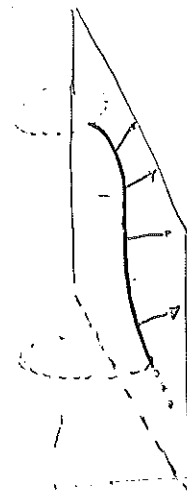
ex:



cerchio massima

su una superficie
di rotazione:

i meridiani sono
geodetiche



i paralleli, in
generale no
ma v. altre



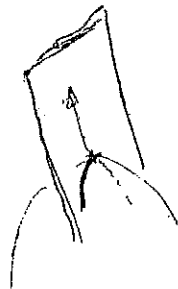
Osservazione

$$\mathbb{R}^2 \stackrel{\equiv}{=} \mathbb{R}^m + \mathbb{R}^z$$

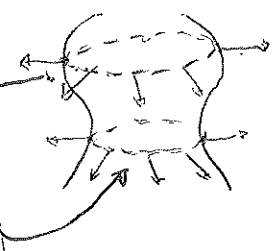
se $\mathbb{R} = \mathbb{R}^m$ è

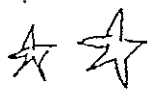
$$\mathbb{R}_g = 0$$

\Rightarrow



questi paralleli
così tracciano
geodetiche

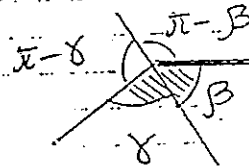
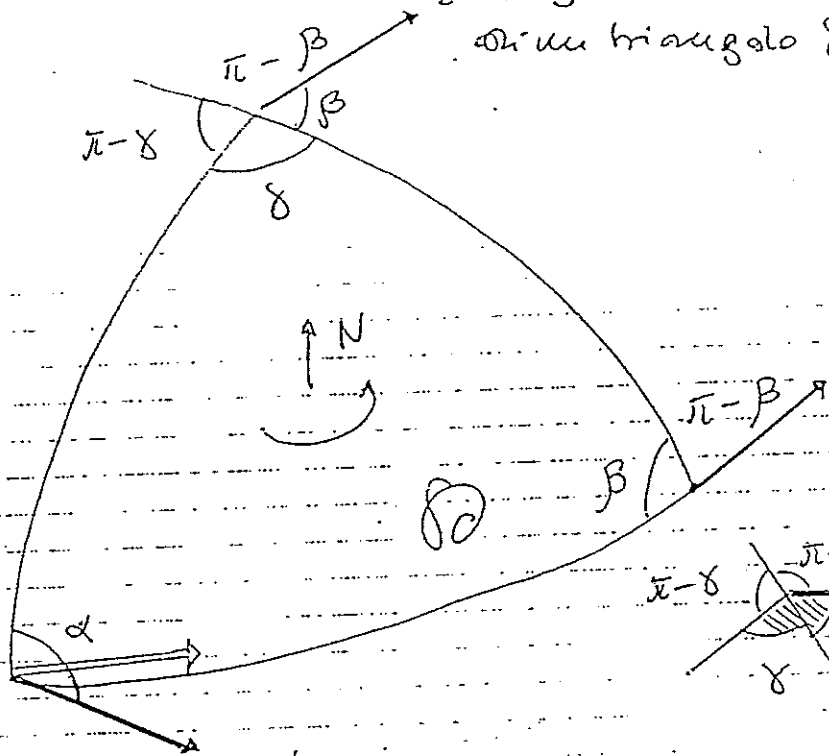




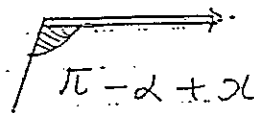
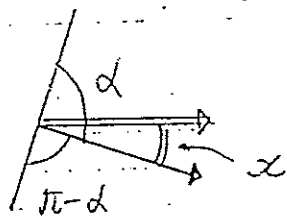
Formula di Gauss (- Bonnet)
(per i triangoli geodetici)

$$\alpha + \beta + \gamma - \pi = \iint_{\mathcal{D}} K \, d\sigma$$

2 angoli esterni
di un triangolo geodetico



$$\pi - \alpha + \alpha = \gamma + \beta$$



Dimostrazione Si ottiene dalla formula di Serret-Angewandte ... si ricorda che i triangoli sono geodetici e che il trasporto parallelo conserva gli angoli.

$$\alpha = \alpha + \beta + \gamma - \pi$$

||

$$\iint_{\mathcal{D}} K \, d\sigma \quad \square$$

Applicandola ad una

sfera, si trova la formula

di L'Huilier, Girard, Lambert
($K = \frac{1}{R^2}$)

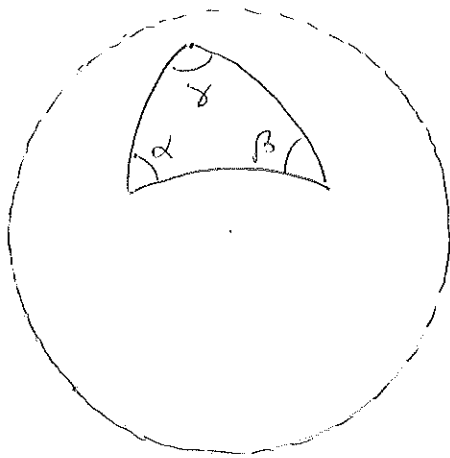
Area di un triangolo sferico
(geodetico: i lati sono tratti di cerchi
massimi)

* ecceso sferico (Gauss)

$$A = \alpha + \beta + \gamma - \pi (> 0)$$

... geometria non euclidea

Applicazione : geometrie non euclidee ***



$$\alpha + \beta + \gamma > \pi$$

* la somma degli angoli di un triangolo (geodetico) supera π

triangolo geodetico

cerchi massimi (modulo identif. dei poli) \equiv rette

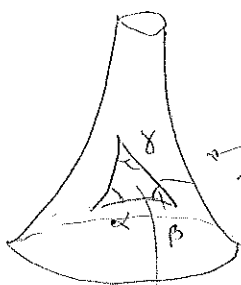
*** $\mathbb{R}P^2$

piano proiettivo reale : modello del piano ellittico

non vi sono "rette" parallele !!
due cerchi massimi si incontrano sempre.

*** piano di Lobachevski (ipربولico) : modello locale : pseudosfera di Beltrami

$$K = -1$$



triangolo geodetico

$$\alpha + \beta + \gamma < \pi$$

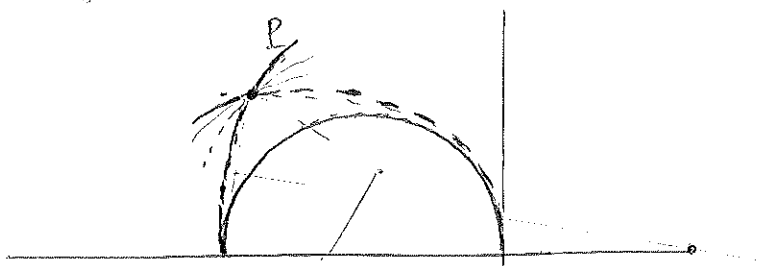
$$\alpha + \beta + \gamma - \pi = -A(\bar{\sigma})$$

area

non vi sono triangoli simili che non siano congruenti

infinite parallele per un punto esterno ad una "retta" (i.e. geodetica) data

v. oltre per il calcolo delle geodetiche



★ ★ Teorema di Gauss - Bonnet

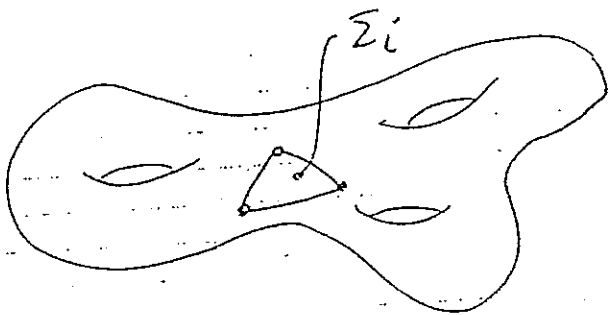
Σ sup. (LSDA), compatta, senza bordo

(Σ, g)
metrica
Riemanniana...

$$\iint_{\Sigma} K d\sigma = 2\pi \chi(\Sigma) \quad (= 2 - 2g)$$

$\chi(\Sigma)$ Caratteristica
di Eulero-Poincaré

$g = \#$
 "buchi"



g : genere di Σ
($g = 3 \dots$)

! sarebbe da dimostrare

$$\chi(\Sigma) = \dots \underbrace{m_0}_{\# \text{ vertici}} - \underbrace{n_1}_{\# \text{ lati}} + \underbrace{m_2}_{\# \text{ triangoli (geodetici)}}$$

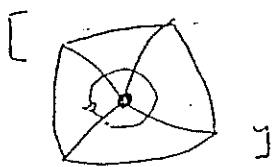
invariante topologico di una triangolazione di Σ

Dimostrazione Si deduce dalla formula precedente

$$\iint_{\Sigma} K d\sigma = \sum_{i=1}^{m_2} \iint_{\Sigma_i} K d\sigma = \sum_{i=1}^{m_2} (\alpha_i + \beta_i + \gamma_i - \pi) =$$

triangoli...

$$= 2\pi m_0 - \pi n_1 = 2\pi \left(m_0 - \frac{n_1}{2} \right)$$



Ora $n_1 = \frac{3m_2}{2} \Rightarrow \chi(\Sigma) =$

$$= m_0 - \frac{3m_2}{2} + m_2 =$$

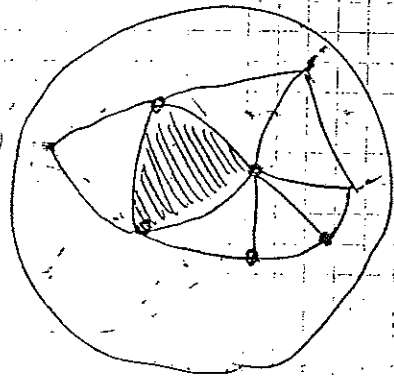
$$\Rightarrow \text{segue l'asserto } \square = m_0 - \frac{m_2}{2}$$

★ Curiosità

★ La "Dimostrazione" di Cauchy

$$\text{Di } \begin{matrix} V - E + F = 2 \\ \text{vertici} \quad \text{spigoli} \quad \text{facce} \end{matrix}$$

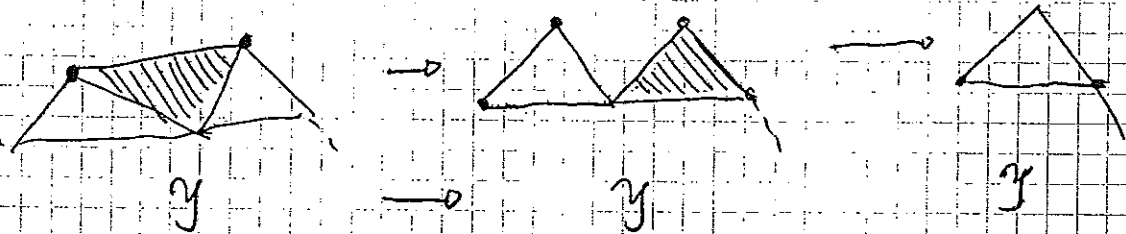
(per la sfera, o superficie omomorfa a questa)
per una qualsiasi triangolazione.



Sia $V - E + F = x$

Diminuendo un triangolo, tale somma
diviene $y = x - 1$. Proviamo che $y = 1$

"strutturiamo" la superficie così ottenuta
su di un piano, e togliamo ad uno ad
uno i "triangoli" partendo dall'"esterno"



Ci si comincia parzialmente dal fatto che
 y non cambia. Si arriva all'ultimo
triangolo, per il quale $y = 1$ \square

(Ma la faccenda è un po' più complicata...)

Si veda I. La Katos "Dimostrazioni e Computazioni"
Feltrinelli

* Determinazione delle geodetiche

* Sfera : cerchi massimi (chiaro dalla def. tramite $Rg = 0$).

(φ, θ)
 $\uparrow \quad \searrow$
 latitudine longitudine
 $\parallel \quad \parallel$
 $x^1 \quad x^2$

$$ds^2 = d\varphi^2 + \sin^2 \varphi d\theta^2$$

$$(g_{ij}) = \begin{pmatrix} 1 & 0 \\ 0 & \sin^2 \varphi \end{pmatrix}$$

$$(g^{ij}) = \frac{1}{\sin^2 \varphi} \begin{pmatrix} \sin^2 \varphi & 0 \\ 0 & 1 \end{pmatrix}$$

$$= \begin{pmatrix} 1 & 0 \\ 0 & \frac{1}{\sin^2 \varphi} \end{pmatrix}$$

$$\Gamma_{22}^1 = -\frac{1}{2} \sin 2\varphi$$

$$\Gamma_{12}^2 = \cotan \varphi$$

(gli altri sono nulli...), si ha, per le geodetiche

$$\begin{cases} \varphi'' - \frac{1}{2} (\varphi')^2 \sin 2\varphi = 0 \\ \varphi'' + \varphi' \vartheta' \cotan \varphi = 0 \end{cases}$$

si calcoli $K = \dots + 1$

$\varphi = \text{cost}$ $\vartheta = \theta$ (meridiano) è certamente geodetica, prendendo come parametro la lunghezza d'arco). Per simmetria, tutti i cerchi massimi sono geodetiche, e una geodetica qualsiasi, essendo la sua direzione iniziale tangente ad un cerchio massimo, è necessariamente un cerchio massimo.

$$ds^2 = g_{ij} dx^i dx^j \quad \text{metrica}$$

$$\Gamma_{jk}^i = \frac{1}{2} g^{ih} (g_{kh,j} + g_{jh,k} - g_{ik,h})$$

simboli di Christoffel
 matrice inversa di (g_{ij})

\uparrow
 $\frac{\partial g_{kh}}{\partial x^j}$ etc...
 geodetiche

$$x^{\circ\circ i} + \Gamma_{kl}^i x^{\circ k} x^{\circ l} = 0$$

$i = 1, \dots, n$

tali formule hanno valori definiti generali; si usa la convenzione di Einstein: somma su indici ripetuti

4 variante, tramite le equazioni di Lagrange

[si oita il calcolo dei simboli di Christoffel]

$$g = dr^2 + \sin^2 r d\varphi^2$$

$$T = \frac{1}{2} (\dot{r}^2 + \sin^2 r \dot{\varphi}^2) \equiv L$$

"energia
cinetica"

Nota: se $t = s$
 $\dot{r}^2 + \sin^2 r \dot{\varphi}^2 = a = \text{cost.}$
 $\dot{r}^2 + \frac{c^2}{\sin^2 r} = a \quad (\text{pu (**)})$
 e derivando, otteniamo $a^{(**)}$, e
 integrare l'equazione

$$\frac{\partial L}{\partial r} = \sin r \cos r \dot{\varphi}^2$$

$$\Rightarrow \ddot{r} = \sin r \cos r \dot{\varphi}^2 \quad (*)$$

$$\frac{d}{dt} \left(\frac{\partial L}{\partial \dot{r}} \right) = \frac{d}{dt} (\dot{r}) = \ddot{r}$$

↓ fatto cruciale

$$\text{ma } \frac{\partial L}{\partial \varphi} = 0 \Rightarrow \frac{d}{dt} \left(\frac{\partial L}{\partial \dot{\varphi}} \right) = 0 \Rightarrow \frac{\partial L}{\partial \dot{\varphi}} = \text{cost.}$$

$$(**) \quad \frac{\partial L}{\partial \dot{\varphi}} = \sin^2 r \dot{\varphi} = c \quad (\text{costante}) \quad r \neq \{0, \pi\} \dots$$

$$\text{ovv, se } c=0 \quad \dot{\varphi} = 0, \quad \varphi = \text{cost} \quad (\text{minimale})$$

e concluso come prima, per ragioni di simmetria

[sostituendo in (*), che di fatto non serve, i

$$\ddot{r} = \sin r \cos r \frac{c^2}{\sin^4 r} = \frac{\cos r c^2}{\sin^3 r} \dots]$$

* Piano (perbolico) (Lobachevski)

$$ds^2 = \frac{dx^2 + dy^2}{y^2} \quad y > 0$$

$$(g_{ij}) = \frac{1}{y^2} \begin{pmatrix} 1 & 0 \\ 0 & 1 \end{pmatrix} \quad (g^{ij}) = y^2 \begin{pmatrix} 1 & 0 \\ 0 & 1 \end{pmatrix}$$

$$\Gamma_{12}^1 = -\frac{1}{y} \quad \Gamma_{11}^2 = +\frac{1}{y} \quad \Gamma_{22}^2 = -\frac{1}{y}$$

si ha:

$$(*) \quad \begin{cases} \ddot{x} = \frac{2\dot{x}\dot{y}}{y} & \ddot{x} + \Gamma_{12}^1 \dot{x}\dot{y} + \Gamma_{21}^1 \dot{x}\dot{y} = 0 \\ \ddot{y} = \frac{\dot{y}^2 - \dot{x}^2}{y} & \ddot{y} + \Gamma_{11}^2 \dot{x}^2 + \Gamma_{22}^2 \dot{y}^2 = 0 \end{cases} \quad \circ = \frac{d}{dt}$$

ora

$$\frac{d^2 y}{dx^2} = \frac{d}{dx} \left(\frac{dy}{dx} \right) = \frac{d}{dx} \left(\frac{\frac{dy}{dt} \frac{dt}{dx}}{\dot{y}} \right) = \frac{d}{dx} \left(\frac{\dot{y}}{\dot{x}} \right) =$$

$$= \frac{d}{dt} \left(\frac{\dot{y}}{\dot{x}} \right) \cdot \frac{dt}{dx} = \frac{\ddot{y}\dot{x} - \dot{y}\ddot{x}}{\dot{x}^3} = \quad (\text{da } (*))$$

$$= \frac{\frac{\dot{y}^2 - \dot{x}^2}{y} \dot{x} - \dot{y} \frac{2\dot{x}\dot{y}}{y}}{\dot{x}^3} = \frac{1}{y} \frac{\dot{y}^2 \dot{x} - \dot{x}^3 - 2\dot{y}^2 \dot{x}}{\dot{x}^3}$$

$$= \frac{1}{y} \left(\frac{-\dot{y}^2 \dot{x} - \dot{x}^3}{\dot{x}^3} \right) = -\frac{1}{y} \left(\left(\frac{\dot{y}}{\dot{x}} \right)^2 + 1 \right) = -\frac{1}{y} (y'^2 + 1)$$

$$\frac{dy}{dx} = y'$$

Daunque

$$\frac{d^2 y}{dx^2} = y'' = -\frac{1}{y} (y'^2 + 1) \Rightarrow$$

$$y y'' + y'^2 = -1 \Rightarrow$$

$$(y y')' = -1 \Rightarrow y y' = -x + A \quad (\diamond)$$

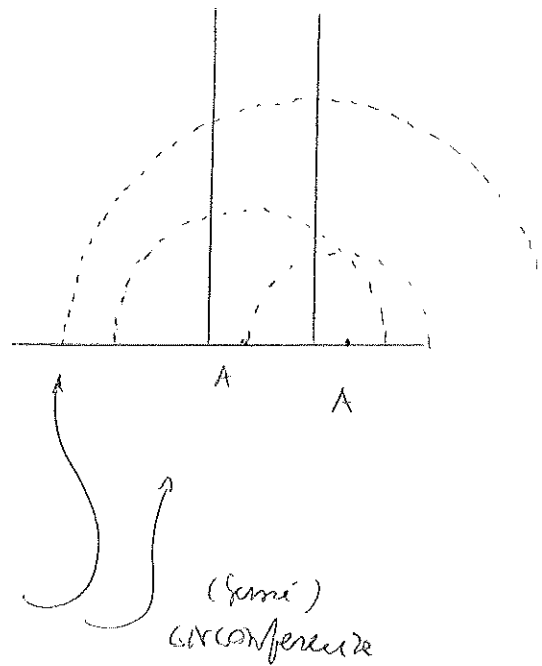
$$y dy = (-x + A) dx$$

$$\frac{1}{2} d(y^2) = (-x + A) dx$$

$$y^2 = -x^2 + 2Ax + B$$

$$\Rightarrow x^2 + y^2 - 2Ax - B = 0$$

$$(x - A)^2 + y^2 = A^2 + B$$



Se $\dot{x} = 0$ e $x = C_1 \Rightarrow$ (semi) rette verticali.

Curvatura del primo ipersolico

$y > 0$

$$K = -\frac{1}{2\lambda} \Delta \log \lambda$$

$$\lambda = \frac{1}{y^2}$$

$$\log \lambda = -2 \log y$$

$$\Delta \log \lambda = -2 \frac{\partial^2}{\partial y^2} \log y =$$

$$\frac{\partial}{\partial x} (\log \lambda) = 0$$

$$= -2 \frac{\partial}{\partial y} \left(\frac{1}{y} \right) = +2 y^{-2}$$

$$K = \frac{2 y^{-2}}{2 y^{-2}} = -1$$

★ Variante (Eq. di Lagrange)

$l = \frac{d}{ds}$ lunghezza d'arco
[iperbolica!]

$$L = \frac{1}{2} \frac{1}{y^2} (x'^2 + y'^2)$$

[cf. il teorema di EROETHOR una "simmetria" di luogo ad un principio di conservazione]

da $\frac{\partial L}{\partial x} = 0$ si ha $\frac{\partial L}{\partial x'} = \frac{x'}{y^2} = C$ (cost.)

invarianza per traslazioni $x \rightarrow x+a$

possiamo, per fixare le idee

$$x' = y^2$$

se $C=0$
 abbiamo
 $x' = 0$
 $x = \text{cost.}$
 \Rightarrow (semi) rette verticali

Si ha pure (da $g_{ij} \dot{x}_i \dot{x}_j = \tilde{c}$)
 "cons. dell'energia"

$$\frac{1}{y^2} (x'^2 + y'^2) = 1$$

$$x'^2 + y'^2 = y^2 \Rightarrow$$

$$y'^2 = y^2 - x'^2 = y^2 - y^4 = y^2(1-y^2)$$

$y > 0$

$$y' = \pm y \sqrt{1-y^2}$$

prendiamo il segno -

$$y' = -y \sqrt{1-y^2}$$

$$\begin{cases} x' = y^2 = \frac{dx}{ds} \\ y' = -y \sqrt{1-y^2} = \frac{dy}{ds} \end{cases}$$

$$\Rightarrow \frac{dy}{dx} = - \frac{\sqrt{1-y^2}}{y}$$

posto

$$y = \sin \xi \quad dy = \cos \xi d\xi$$

$$\frac{-y dy}{\sqrt{1-y^2}} = dx$$

$$\frac{-\sin \xi \cdot \cos \xi \cdot d\xi}{\cos \xi} = dx$$

$$dx = -\sin \xi d\xi$$

$$\Rightarrow \begin{cases} x = \cos \xi + a \\ y = \sin \xi \end{cases}$$

$$(x-a)^2 + y^2 = 1$$

+ ... 0

$$\Gamma_{11}^1 = \frac{1}{2} g^{11} \left(\underbrace{g_{11,1}}_{g_{11}=1} + g_{11,1} - g_{11,1} \right)$$

$$\Gamma_{11}^1 = 0$$

Simboli di Christoffel della sfera: dettagli

$$\Gamma_{12}^1 = \frac{1}{2} g^{11} \left(\cancel{g_{21,1}} + \cancel{g_{11,2}} - \cancel{g_{12,1}} \right) = 0$$

$$\Gamma_{12}^2 = 0$$

$$\Gamma_{21}^1 = 0$$

$$\Gamma_{22}^2 = \frac{1}{2} g^{22} \left(\cancel{g_{21,2}} + \cancel{g_{21,2}} - g_{22,2} \right)$$

$$= -\frac{1}{2} \cdot 2 \cdot \sin \vartheta \cos \vartheta = -\sin \vartheta \cos \vartheta = -\frac{1}{2} \sin 2\vartheta$$

$$\Gamma_{22}^2 = -\frac{1}{2} \sin 2\vartheta$$

$$\Gamma_{11}^2 = \frac{1}{2} g^{22} \left(\cancel{g_{12,1}} + \cancel{g_{12,2}} - \cancel{g_{11,2}} \right) = 0$$

$$\Gamma_{11}^2 = 0$$

$$\Gamma_{12}^2 = \frac{1}{2} g^{22} \left(g_{22,1} + \cancel{g_{12,2}} - \cancel{g_{12,2}} \right)$$

$$= \frac{1}{2} \frac{1}{\sin^2 \vartheta} \frac{\partial}{\partial \vartheta} (\sin^2 \vartheta) = \frac{1}{\cancel{2}} \frac{1}{\sin \vartheta} \cdot 2 \sin \vartheta \cos \vartheta = \cot \vartheta$$

$$\Gamma_{22}^2 = \frac{1}{2} g^{22} (g_{22,2} + \cancel{g_{22,2}} - \cancel{g_{22,2}})$$

$$\frac{\partial}{\partial y} (g_{22,2}) = 0$$

$$\boxed{\Gamma_{22}^2 = 0}$$

★ Simboli di Christoffel del piano iperbolico:
 dettagli

$$(g_{ij}) = \begin{pmatrix} \frac{1}{y^2} & 0 \\ 0 & \frac{1}{y^2} \end{pmatrix}$$

$$\Gamma_{11}^1 = \frac{1}{2} g^{11} \textcircled{1} (g_{11,1} + \cancel{g_{11,1}} - \cancel{g_{11,1}}) = 0$$

$$\boxed{\Gamma_{11}^1 = 0}$$

$$\Gamma_{12}^1 = \frac{1}{2} g^{11} \textcircled{1} (g_{21,1} + g_{11,2} - \cancel{g_{12,1}})$$

$$= \frac{1}{2} \cdot y^{-2} \cdot \frac{\partial}{\partial y} y^{-2} = \frac{1}{2} y^{-2} \cdot (-2) y^{-3}$$

$$= -\frac{1}{y^5}$$

$$\boxed{\Gamma_{12}^1 = -\frac{1}{y^5}}$$

$$\Gamma_{22}^1 = \frac{1}{2} g^{11} \textcircled{1} (g_{22,2} + \cancel{g_{21,2}} - \underbrace{g_{22,1}}_0)$$

$$= 0$$

$$\boxed{\Gamma_{22}^1 = 0}$$

$$\Gamma_{11}^2 = \frac{1}{2} g^{22} \textcircled{2} \left(\cancel{g_{12,1}} + \cancel{g_{12,1}} - g_{11,2} \right)$$

$$= -\frac{1}{2} y^2 \frac{\partial}{\partial y} (y^{-2}) = -\frac{1}{2} y^2 (-2) y^{-3} = y^{-1}$$

$$\boxed{\Gamma_{11}^2 = \frac{1}{y}}$$

$$\Gamma_{12}^2 = \frac{1}{2} g^{22} \textcircled{2} \left(\cancel{g_{22,1}} + \cancel{g_{12,2}} - \cancel{g_{12,2}} \right) = 0$$

$$\boxed{\Gamma_{12}^2 = 0}$$

$$\Gamma_{22}^2 = \frac{1}{2} g^{22} \left(g_{22,2} + \cancel{g_{22,2}} - \cancel{g_{22,2}} \right)$$

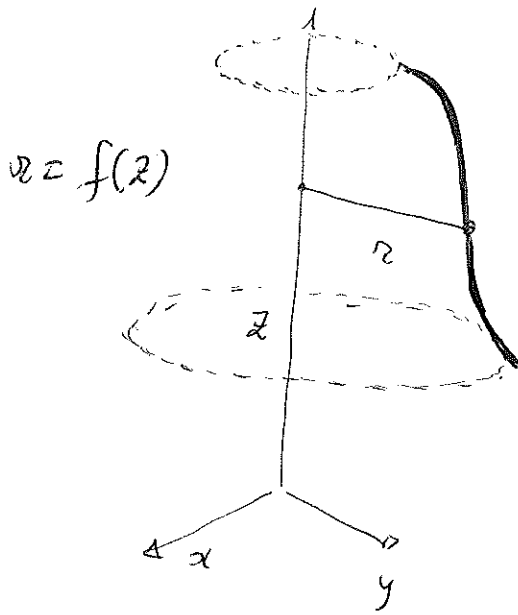
$$= \frac{1}{2} \cdot y^2 \cdot \frac{\partial}{\partial y} (y^{-2}) = \frac{1}{2} y^2 (-2) y^{-3} = -y^{-1}$$

$$\boxed{\Gamma_{22}^2 = -\frac{1}{y}}$$

X-14'''

★ geodetiche sulle superficie di rivoluzione

discussione generale
hamiltoniana
eq. di Lagrange



$$r^2 = x^2 + y^2$$

$$T = \frac{1}{2} (\dot{z}^2 + \dot{r}^2 + r^2 \dot{\phi}^2)$$

Energia
cinetica

$$\begin{cases} x = r \cos \varphi & \varphi \in [0, 2\pi) \\ y = r \sin \varphi \\ z = z \end{cases}$$

Coordinate cilindriche

Controllo:

$$\dot{x} = \dot{r} \cos \varphi - r \sin \varphi \dot{\varphi}$$

$$\dot{y} = \dot{r} \sin \varphi + r \cos \varphi \dot{\varphi}$$

$$\dot{x}^2 + \dot{y}^2 + \dot{z}^2 = \dot{z}^2 + \dot{r}^2 + r^2 \dot{\varphi}^2$$

$$- 2r\dot{r}\sin\varphi\cos\varphi\dot{\varphi} + 2r\dot{r}\sin\varphi\cos\varphi\dot{\varphi}$$

$$\dot{r} = \frac{df}{dt} = \frac{df}{dz} \frac{dz}{dt} = f'(z) \dot{z}$$

$$= T = \frac{1}{2} \left\{ [f'(z)^2 + 1] \dot{z}^2 + f(z)^2 \dot{\varphi}^2 \right\} \text{ "energia cinetica"}$$

L

Lagrangiana

$$\frac{\partial \mathcal{L}}{\partial q_\alpha} - \frac{d}{dt} \frac{\partial \mathcal{L}}{\partial \dot{q}_\alpha} = 0$$

$\alpha = 1, \dots, n$

• $\frac{\partial \mathcal{L}}{\partial q_\alpha} = 0$ (q_α coordinata ciclica, o ignorabile)

$$\bar{e} \quad \frac{d}{dt} \frac{\partial \mathcal{L}}{\partial \dot{q}_\alpha} = 0$$

conserva.
le

avremo $\frac{\partial \mathcal{L}}{\partial \dot{q}_\alpha} = \text{costante}$ (integrale primo)

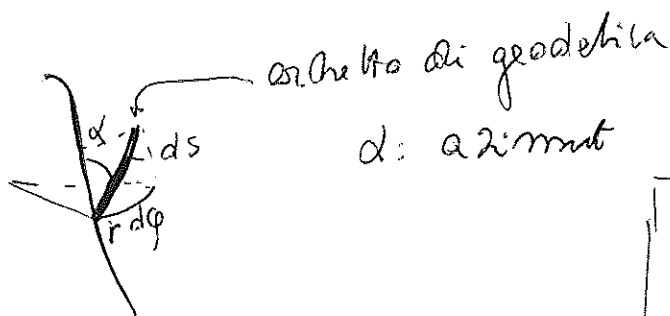
Nel nostro caso T non dipende da φ , sicché

$$\frac{\partial T}{\partial \dot{\phi}} = 2 f(z)^2 \dot{\phi} = \text{cost.}$$

conservazione
della componente
 z del
momento angolare

$$f(z)^2 \dot{\phi} = \text{cost}$$

$$r^2 \dot{\phi}$$



orbita di geodesica

d : azimuth

$$dt = ds$$

$$\dot{\phi} = \frac{d\phi}{ds} = \frac{1}{r} \sin \alpha$$

$$r^2 d\phi = C_1 ds$$

$$r \cdot (r d\phi) = C_1 ds$$

$$r \sin \alpha ds = C_1 ds$$

\Rightarrow

$$r \sin \alpha = C_1$$

↑ azimuth
rappia del parallelo

teorema di
Clairaut

★ L'Equazione geodetica (che non è necessario scrivere) si integra, in linea di principio, utilizzando

$$T = h \quad (\text{cost}) \quad \leftarrow \text{conservazione dell'energia}$$

$$(f'^2 + 1) \dot{z}^2 + k^2 f^{-2} = 2h$$

$$f^2 \dot{\phi} = k \quad \leftarrow \text{Clairaut}$$

$$f^4 \dot{\phi}^2 = k^2 \quad \leftarrow \text{cons. della componente } z \text{ del momento angolare}$$

$$f^2 \dot{\phi}^2 = f^2 \frac{k^2}{f^4} = k^2 f^{-2}$$

$$\dot{z}^2 = \frac{2h - k^2 f^{-2}}{f'^2 + 1}$$

$$= \frac{2h f^2 - k^2}{f^2 (f'^2 + 1)}$$

$$(2h f^2 - k^2 \geq 0) \\ f > 0$$

$$\dot{z} = \pm \sqrt{\frac{2h f^2 - k^2}{f^2 (f'^2 + 1)}} \\ \parallel \\ \frac{dz}{dt}$$

$$dt = \pm \sqrt{\frac{f^2 (f'^2 + 1)}{2h f^2 - k^2}} dz$$

$$\frac{d\phi}{dt} = \frac{k}{f^2} \\ d\phi = \frac{k}{f^2(t)} dt \\ \phi = \int \frac{k}{f^2(t)} dt + \dots$$

$$2h = 1$$

$$\text{se } dt = ds \quad \uparrow$$

$$t = \tau(z)$$

$$z = \tau^{-1}(t)$$

X-17

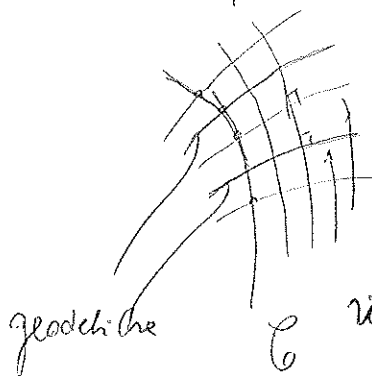
$$r = r(z) = f(z) = \gamma(t)$$

$$\phi = \dots \Phi(t)$$

★ Le geodetiche danno luogo, localmente, alle curve di lunghezza minima congiungenti due pti dati (suffic. vicini) ["minimizzano, localmente, il funzionale lunghezza"]

Vediamo come:

In una porzione di superficie consideriamo una curva qualsiasi C ; a partire dai pt. di C spicchiamo le geodetiche ortogonali a C ; rispetto ad un opportuno parametro v^* , che può vedersi come un parametro su C , esse saranno date da $v^* = \text{cost}$.



consideriamo le loro traiettorie ortogonali come curve $u^* = \text{cost}$ (C corrisponde a $u^* = 0$) [queste ultime non sono necessariamente geodetiche]; in termini delle coordinate u^* e v^* ,

$$g_{12}^* \equiv F^* = 0 \quad (\text{ortogonalità}).$$

Da $(Rg)_{v^* = \text{cost}} = -\frac{1}{\sqrt{E^*}} \frac{\partial}{\partial v^*} (\log \sqrt{E^*}) = 0$

↑
curvatura geodetica

($v^* = \text{cost}$ sono geodetiche)

Si ha $E^* = g_{11}^*(u^*)$ (non dipende cioè da v^*)
ovvero, la lunghezza d'arco su una geodetica

Poniamo $u = \int_0^{u^*} \sqrt{E^*} du^*$, $v = v^*$

si ottengono naturalmente coordinate ortogonali, e, inoltre

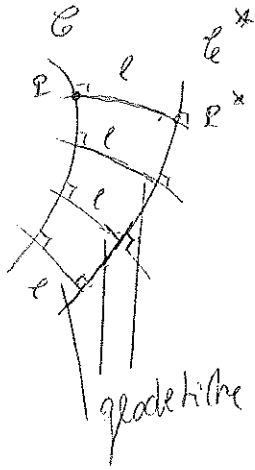
$$ds^2 = du^2 + E_2(u, v) dv^2$$

$$g_{22} = g = \det(I) = \begin{matrix} E_2 & -F^2 \\ & 1 \end{matrix}$$

(in particolare $K = -\frac{1}{\sqrt{g}} \frac{\partial^2 \sqrt{g}}{\partial u^2} \quad g = G$)

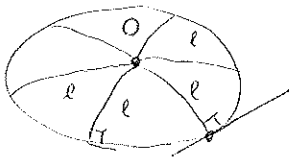
Dalla formula precedente si ha (lemma di Gauss)

infatti, costruita la curva C^* , del tipo $u = \text{cost.}$, la lunghezza di un arco di geodetica $\widehat{PP^*}$ è costante



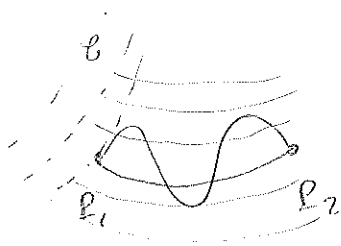
la curva C^* luogo dei punti sulle geodetiche emananti ortogonalmente da C ad una distanza fissata l (misurata tramite la metrica) è ancora ortogonale alle geodetiche Orte . C^* è detta parallelo geodetico

In particolare un cerchio geodetico è perpendicolare; in ogni suo punto, alla geodetica che va al pts di contatto



Se ora P_1 e P_2 sono punti di \mathbb{I} congiunti da un'unica geodetica γ , e costruisco un sistema di coordinate geodetiche come sopra,

per la lunghezza di un arco γ congiungente P_1 e P_2 ho

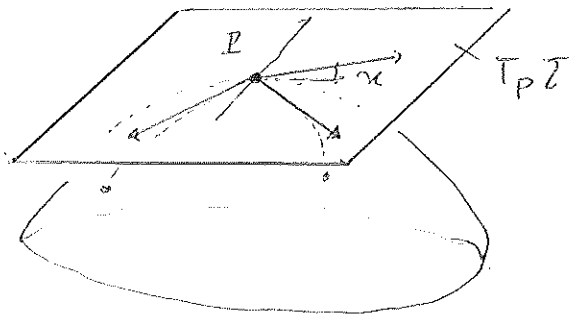


$$l(\gamma) = \int_{t_1}^{t_2} \sqrt{\dot{u}^2 + \underbrace{g_{22}}_{=r^2} \dot{v}^2} dt$$

$$\geq \int_{t_1}^{t_2} \dot{u} dt = u_2 - u_1$$

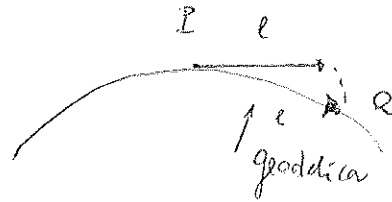
e vale $= \Leftrightarrow \dot{v} = 0$, cioè

γ ha lo stesso sostegno della geodetica $\widehat{P_1 P_2}$.

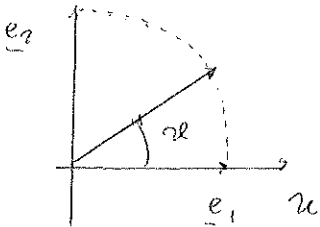


★ Applicazione,
o mappa
esponenziale

(.. al - Biruni..) X-XI sc.

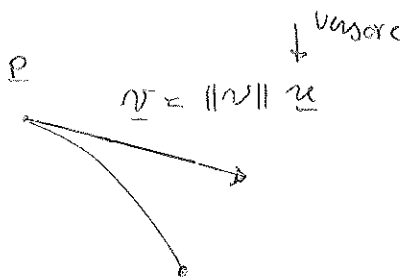


$$H(r, u) = \exp_P (r (\cos u \underline{e}_1 + \sin u \underline{e}_2)) \in \Sigma$$



[per r suff. piccolo $\hat{=}$ un diffeomorfismo]

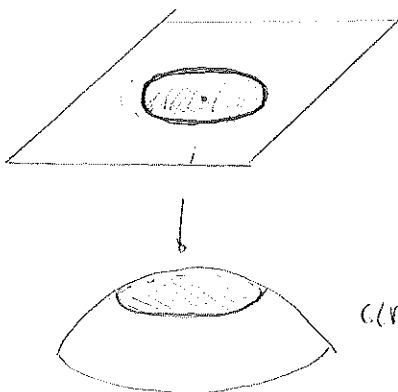
$$\exp_P \underline{v} := \gamma^{\underline{v}}(1) = \text{2° estremo dell'arco di geodesica uscente da } P \text{ con velocità } \underline{v}, \text{ per } s=1$$



(s : asse sso Annilinea)

$$= \gamma^{\underline{u}}(\|\underline{v}\|)$$

(2° estremo dell'arco di geodesica uscente da P con velocità \underline{u} ($\|\underline{u}\|=1$), per $s = \|\underline{v}\|$)



$$C_r : \underline{u} \mapsto H(r, \underline{u})$$

↑
fisso

circonferenza geodesica di raggio r di centro P e raggio r

* Teorema (Bertrand, Puiseux)

$$1. \quad L(C_r^P) = \underbrace{2\pi r}_{\substack{\text{l. circ.} \\ \text{euclidea}}} \left(1 - \frac{K(P)}{6} r^2 + o(r^2) \right)$$

$$2. \quad A(\tilde{C}_r^P) = \underbrace{\pi r^2}_{\substack{\text{area} \\ \text{circhio} \\ \text{"euclidea"}}} \left(1 - \frac{K(P)}{12} r^2 + o(r^2) \right)$$

↑
circhio geodetico

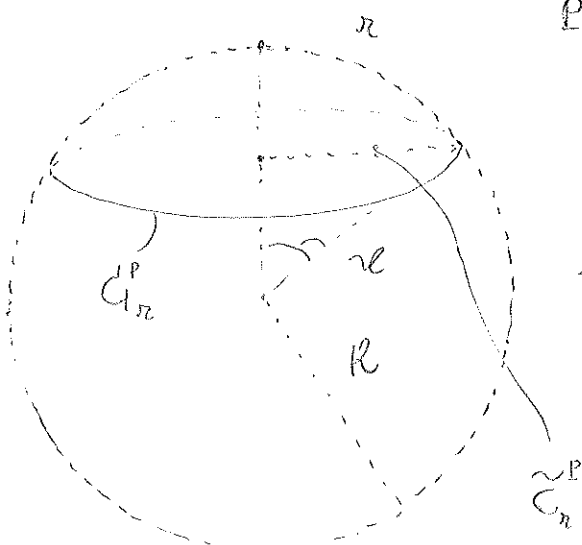
Dimo. Diamo una dimostrazione (omettendo qualche dettaglio analitico) diretta, di tipo geometrico.

Approssimiamo \bar{Z} , in un intorno di P , con una sfera (sfera osculatrice)

tangente a \bar{Z} in P e di raggio R

con $\frac{1}{R^2} = K(P)$

[Se K è negativo, si usa una pseudo-sfera.]



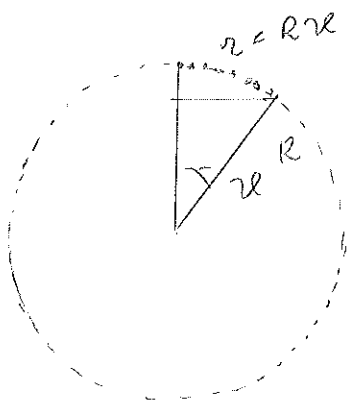
si ha: $L(C_r^P) =$

$$2\pi R \sin r = 2\pi R \sin \frac{r}{R} =$$

$$= 2\pi R \left[\frac{r}{R} - \frac{1}{6} \left(\frac{r}{R} \right)^3 + \dots \right]$$

$$= 2\pi r - 2\pi R \cdot \frac{1}{6} \frac{r^3}{R^3} \cdot \frac{1}{R^2} + \dots$$

$\underbrace{\frac{1}{R^2}}_{=K(P)}$



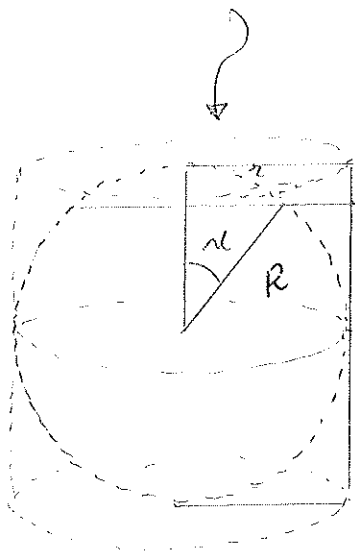
$$= 2\pi r - 2\pi r \cdot \frac{r^2}{6} \cdot K(r) + \dots$$

$$= 2\pi r \left(1 - \frac{K(r)}{6} r^2 + \dots \right) \quad \text{che è la l.}$$

Allo stesso modo, $A(\tilde{C}_r^E) = \text{area calotta sferica}$

$$= \int_0^r \left(\int_0^{2\pi} \sin \vartheta \, d\varphi \right) d\vartheta = 2\pi R^2 (1 - \cos \vartheta)$$

(cf. anche il teoc. di Archimede)



$$\vartheta = \frac{r}{R}$$

$$2\pi R^2 \left(\frac{r^2}{2} - \frac{r^4}{4!} + \dots \right)$$

$$= 2\pi R^2 \left(\frac{r^2}{2R^2} - \frac{r^4}{4! R^4} + \dots \right)$$

$$= \pi r^2 \left[1 - \frac{1}{12} r^2 \cdot \frac{1}{R^2} + \dots \right]$$

$\underbrace{\hspace{10em}}_{K(r)}$

$$= \pi r^2 \left[1 - \frac{K(r)}{12} r^2 + \dots \right], \quad \text{il che prova l.}$$

* Lemma tecnico in coordinate geodetiche polari (ρ, ϑ)

$$\lim_{\rho \rightarrow 0} \sqrt{g} = 0$$

$$\lim_{\rho \rightarrow 0} \frac{\partial(\sqrt{g})}{\partial \rho} = 1$$

$$E = 1$$

$$G = G(\rho, \vartheta)$$

Dica. in coordinate cartesiane $\left\{ \begin{array}{l} u^* = \rho \cos \vartheta \\ v^* = \rho \sin \vartheta \end{array} \right.$

$$\sqrt{EG - F^2} = \sqrt{E^* G^* - F^{*2}} \cdot \frac{\partial(u^*, v^*)}{\partial(\rho, \vartheta)}$$

$$\Rightarrow \sqrt{g} = \rho \sqrt{E^* G^* - F^{*2}}$$

ora, in P ($\rho=0$, ϑ arbitr.) $E^* = G^* = 1$, $F^* = 0$

$$\Rightarrow \lim_{\rho \rightarrow 0} \sqrt{g} = 0 \quad \text{e} \quad \lim_{\rho \rightarrow 0} \frac{\sqrt{g}}{\rho} = 1$$

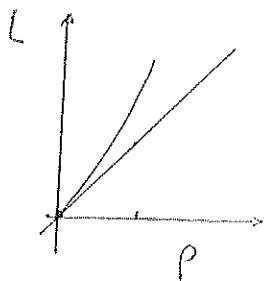
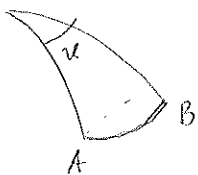
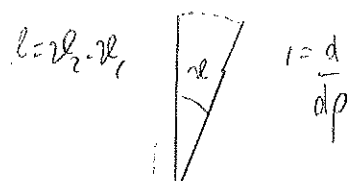
utilizzeremo ciò nel discutere la diffusione delle geodetiche (approssimo locale)

la lunghezza di un arco $\rho = \text{cost}$, in coord. polari è

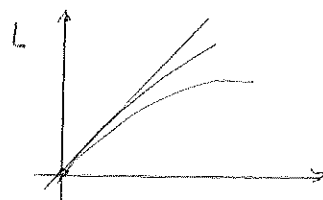
$$L(\rho) = \int_{\vartheta_1}^{\vartheta_2} \sqrt{g} \, d\vartheta \quad ; \quad \text{successivamente è}$$

$$L'(\rho) = \int_{\vartheta_1}^{\vartheta_2} \frac{\partial}{\partial \rho} (\sqrt{g}) \, d\vartheta,$$

$$L''(\rho) = \int_{\vartheta_1}^{\vartheta_2} \underbrace{\frac{\partial^2}{\partial \rho^2} (\sqrt{g})}_{= -K \sqrt{g}} \, d\vartheta$$



$K < 0$
le geod. si allungano



$K > 0$
inizialmente si allungano;
possono
incurvare

$D < 0$ non è la dist. tra A e B il geod.

Conseguenza: il flusso geodetico su una superficie a curvatura negativa è caotico (ovvero, si ha dipendenza sensibile dalle condizioni iniziali).



* Conseguenza remota: l'impossibilità di previsioni meteorologiche precise di lungo termine.

Ipotesi stati dell'atmosfera costituiscono i pt di una varietà riemanniana di dimensione finita, e la dinamica può interpretarsi come flusso geodetico di una certa metrica. Tale varietà ha curvatura (sezionale) generalmente negativa (V. I. Arnold)

★ Teorema di Minding

Due superficie con la stessa curvatura costante
sono localmente isometriche

Dica. Partiamo da

$$(\sqrt{G})_{pp} + K \sqrt{G} = 0 \quad (\text{coord. polari})$$

↑
costante

e ricordiamo che (*) $\lim_{p \rightarrow 0} \sqrt{G} = 0$, $\lim_{p \rightarrow 0} (\sqrt{G})_p = 1$

Abbiamo tre casi:

1. $K = 0$ $\sqrt{G} = p + f(\vartheta)$, ma da (*) si ha $f(\vartheta) \equiv 0$

$\Rightarrow E = 1, F = 0, G(p, \vartheta) = p^2$ $ds^2 = dp^2 + p^2 d\vartheta^2$
plano

2. $K > 0$

$$\sqrt{G} = A(\vartheta) \cos(\sqrt{K} p) + B(\vartheta) \sin(\sqrt{K} p)$$

ma (*) implica $A(\vartheta) \equiv 0$ e (**) da' $B(\vartheta) = \frac{1}{\sqrt{K}}$

$\Rightarrow E = 1, F = 0, G = \frac{1}{K} \sin^2(\sqrt{K} p) \Rightarrow$ loc. sfera di raggio $\frac{1}{\sqrt{K}}$

3. $K < 0$ $\sqrt{G} = A(\vartheta) \cosh(\sqrt{-K} p) + B(\vartheta) \sinh(\sqrt{-K} p)$

$\Rightarrow E = 1, F = 0, G = -\frac{1}{K} \sinh^2(\sqrt{-K} p)$
 \leadsto loc. pseudosfera